



مطالعه‌ی سنگ‌شناختی پوش سنگ مخزن آسماری با استفاده از پوش‌های چاه‌پیمایی (GR) و پتروگرافی، میدان نفتی کوپال

بهمن سلیمانی^۱، یحقوب محمدی^۲

(۱) گروه زمین‌شناسی، دانشگاه شهید چمران اهواز soleimani_b@scu.ac.ir

(۲) زمین‌شناسی نفت، دانشگاه شهید چمران اهواز yaghoub_mohammadi@yahoo.com

^{*} عهده‌دار مکاتبات

مکار

میدان نفتی کوپال در ۵۰ کیلومتری شمال شرق اهواز قرار گرفته و از روند زاگرس تبعیت می‌کند. بخش ۱ سازند گچساران به عنوان پوش سنگ مخزن آسماری، از ۶ طبقه راهنمای A, B, C, D, E, F (از بالا به پایین) تشکیل یافته است. برای ارزیابی پتروفیزیکی پوش سنگ از نمودار چاه‌پیمایی گاما (GR) و مطالعات سنگ‌شناسی میکروسکوپی و رسم ستون چینه‌شناسی با کمک نرم‌افزار لگ‌پلات (Log Plot 2003) و نیز میکروسکوپ الکترونی (SEM) استفاده گردید. نتایج این مطالعات نشان داد که طبقات راهنما از ویژگی‌های سنگ‌شناسی متفاوتی تشکیل یافته است، A (انیدریت)، B (شیل پیتومینه)، C, D, E و F (آهک). در برخی از چاه‌ها مقداری رس به این افق‌ها اضافه شده و باعث می‌شود که درجه‌ی ای پی آی (API) آن‌ها در نمودار گاما افزایش یابد. مطالعات پتروگرافی نمونه‌های انیدریت نشان داد که فرآیندهای دیاژنتیکی انیدریتیزاسیون، سیمانی شدن، تراکم، تبلور مجلد و جانشینی در پوش سنگ غالب می‌باشد. لیتوژئی عمده‌ی پوش سنگ، انیدریت است و لذا می‌توان آن‌را در زمرة پوش سنگ‌های انیدریتی طبقه‌بندی نمود. از سمت شمال غرب به سمت جنوب شرق میدان، ضخامت پوش سنگ به صورت محسوس کاهش حاصل می‌کند.

واژه‌های کلیدی: میدان نفتی کوپال، پوش سنگ، ارزیابی پتروفیزیکی، طبقات راهنما

۱- مقدمه

Kendal 1992, Rouchy et al. 1995) مدل‌های بافت و رخساره‌های رسوبی تبخیری‌ها را بر اساس نمونه‌های قابل قیاس هولوسن مورد ارزیابی قرار دادند و همراهی نزدیک تبخیری‌ها با مواد هیدروکربنی را تأکید کردند. هولسر و هارדי (Holser 1979, Hardie 1984) مطالعات ارزنده‌ای را در ارتباط با کانی‌شناسی تبخیری‌ها انجام داده‌اند.

Kendall و وارن (Kendall 1984, Warren 1989, Warren 1999) (Kendall 1984, Warren 1989, Warren 1999) محیط رسوبی تبخیری‌ها را در نقاط مختلف جهان به دقت مورد بررسی قرار دادند. در طی یک دهه‌ی گذشته تحقیقات مفصلی را در ارتباط با تبخیری‌های سواحل جنوب خلیج فارس توسط ال-شرهان و کندال (AlSharhan & Kendall 1994) و رسوبات تبخیری بادنیان (Kasprzyk 1995, Badenian 2003, 2005) انجام گرفته است. از دیگر مطالعات انجام گرفته در ارتباط با تبخیری‌ها، می‌توان به تحقیقات شرایبر و ال‌تیخ و همین‌طور

در طی چند دهه‌ی گذشته، یک جهش بزرگی در ارتباط با دانسته‌های ما در مورد فرآیندهای اولیه و دیاژنزی فعلی در تبخیری‌های مدرن و قدیمی اتفاق افتاده است، که این جهش با تحقیقات مفصل سیخاه‌ها در خلیج فارس توسط ایلینگ و همکاران (Illing et al. 1965) شروع شد و پس از آن به وسیله‌ی پروژه‌ی حفاری عمیق دریا و اکتشاف تبخیری‌های گسترده در رسوبات میوسن پیشین در زیر کف دریای مدیترانه و مطالعه‌ی آن توسط سو و همکاران (Hsü et al. 1977) ادامه یافت. دانلوب (Dunlop 1978)، سودومورف‌های تبخیری‌ها را در سنگ‌های متعلق به ۳/۴۵ میلیارد سال پیش ثبت و (Warren & Kendall 1985) تحقیقاتی را در ارتباط با توصیف زیپس‌های مدرن در غرب و جنوب غرب استرالیا انجام دادند. شرایبر، وارن، ملوین، کندال و روچی (Schreiber et al. 1982, Warren 1989, Melvin 1991,

۱۲- (زمین‌شناسی منطقه‌ی مورد مطالعه)

میدان نفتی کوپال (تصویر ۱) در ۵۰ کیلومتری شمال شرق اهواز قرار دارد. از لحاظ تکتونیکی در بخش مرکزی فروافتادگی دزفول شمالی بوده و از روند زاگرس تبعیت می‌کند. این میدان دارای ابعاد ۶۲ در ۴ کیلومتر می‌باشد. سکانس رسویات جوانتر از الیگوسن در این میدان شامل سازند آسماری، گچساران، میشان، آغازاری و بختیاری است.

۱۳- (روش کار)

اساس کار مطالعات پتروفیزیکی، استفاده از نمودار یا لاغ است. یک نمودار چاه‌پیمایی گرافی است در مقابل عمق که پارامترها و کمیت‌های فیزیکی اندازه‌گیری شده در یک چاه یا پارامترهای مشتق شده از آن‌ها را به صورت منحنی عرضه می‌کند (موحد ۱۳۷۸).

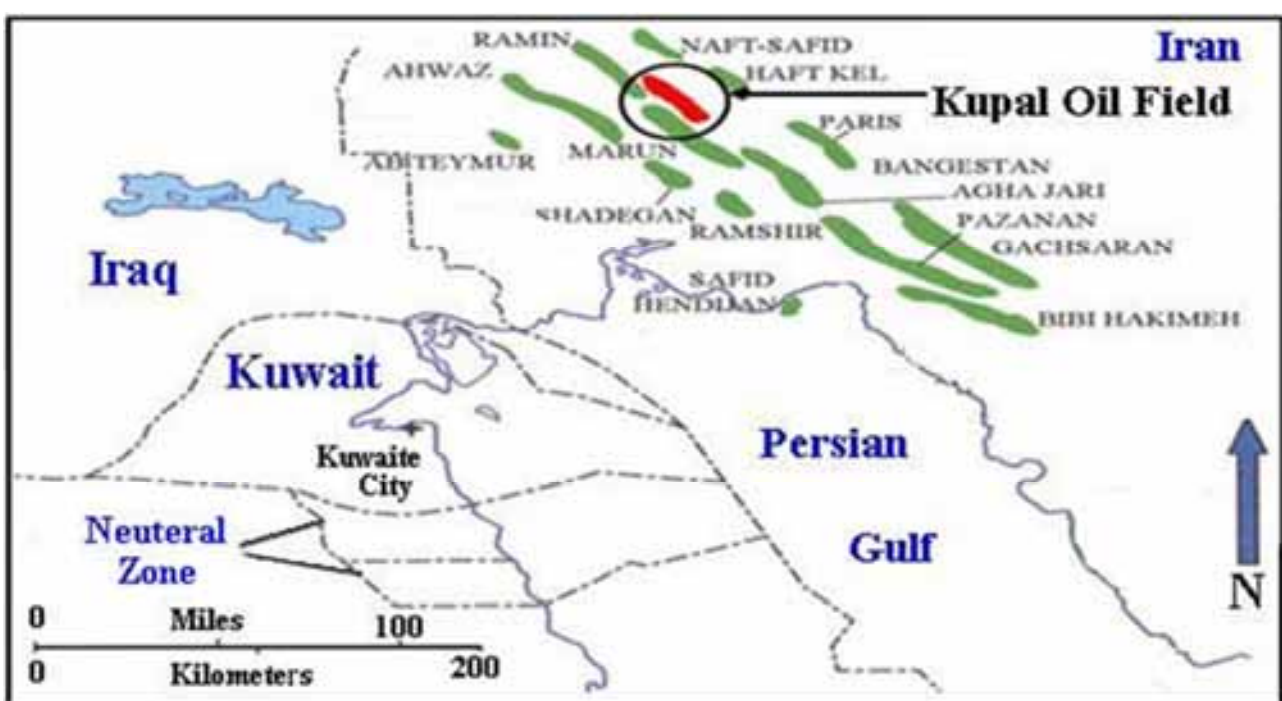
۱۴- نمودار گاما (GR) (Gamma Ray, GR)

سازندهای موجود در زیر زمین که دارای عناصر رادیو اکتیویته توریم (TH-232)، اورانیوم (U-235) و پتاسیم (K-40)، هستند که چار واپاشی شده و از خود پرتوهای گاما ساطع می‌کنند. عنصر اورانیوم بیشتر در مواد آلی، مواد فسفاتی و در درز و شکاف‌ها، عنصر توریم به‌علت غیرقابل حل بودن، تماماً به صورت معائق (Suspension) جابه‌جا می‌گردد. بنابراین یا در ترکیب سیلت بوده و یا به صورت کانی‌های حاوی توریم ظاهر می‌گردد. عنصر پتاسیم نیز تمرکز بالایی را در

لوقلی (Lugli 2000) (Schreiber & El-Tabakh 2001) و (Downey 1984, Grunau 1987) اشاره کرد. دونی و گرونو (Grunau 1987) مطالبی را در ارتباط با پوش‌سنگ‌ها فراهم کردند.

در زمین‌شناسی جنوب غرب ایران، پوش‌سنگ مخزن آسماری شامل بخش ۱ سازند گچساران می‌باشد که به طور کلی جداگانه‌ی دو منطقه‌ی پرفسار در بالا یعنی سازند گچساران و کم‌پسار در پایین یعنی سازند آسماری می‌باشد. پوش‌سنگ از لایه‌های انیدریت، مارن، آهک و A, B, C, D, E, F شیل بیتومینه‌دار تشکیل یافته و شش لایه کلیدی A, B, C, D, E, F از آن تشخیص داده شد. لایه کلیدی A از انیدریت ریزبلور، لایه کلیدی B از شیل بیتومینه‌دار و لایه‌های کلیدی C, D, E, F غالباً از آهک فسیل‌دار و مارن تشکیل یافته است. ضخامت هر کدام از لایه‌ها از ۲ تا ۳ متر متغیر می‌باشد. این لایه یا طبقات کلیدی، لایه‌های هستند که با حداقل ضخامت، دارای گستردگی خوبی در یک یا چند منطقه می‌باشند و به آسانی نیز قابل تشخیص و انطباق قرار می‌گیرند.

در مطالعه‌ی کنونی از نمودارهای گاما و صوتی برای بررسی تغییرات لیتوژوئی، تغییرات ضخامت پوش‌سنگ و خصوصیات پتروفیزیکی آن به‌منظور کاهش رسیک حفاری، استفاده گردید (Pilman et al. 2009). هدف اصلی این مطالعه، بررسی خصوصیات و ویژگی‌های پوش‌سنگ (پتروفیزیکی، پتروگرافی، لیتوژوئیکی) (Zisser et al. 2010-a, Zisser et al. 2010-b) و شناسایی جنس طبقات کلیدی راهنمای است که جهت بالا بردن دقّت و سرعت حفاری از اهمیت فوق العاده‌ای برخوردار می‌باشد.



تصویر ۱- موقعیت میدان نفتی جنوب غرب ایران (NICO).

برای بررسی استراتیگرافی، تطابق و تغییرات ضخامت پوش سنگ، ستون چینه‌شناسی، چاه‌های انتخاب شده توسط نرم‌افزار لگ‌پلات (Log plot 2003) تهیه شده است.

۱۴- بحث

بخش ۱ سازند گچساران به عنوان پوش سنگ مخزن آسماری میدان نفتی زاگرس عمل نموده، ارزیابی آن باعث کاهش ریسک حفاری و در برنامه‌ریزی مدیریت اکتشاف و حفاری نقش عمده‌ای دارد. شواهد سنگ‌شناسی و پتروفیزیک بخش‌های سازنده‌ی پوش سنگ می‌تواند ما را در این راستا یاری نماید.

۱۴-۱- مشتمصات سنگ‌شناسی طبقات راهنمای

ویژگی‌های شش طبقه‌ی کلیدی راهنمای پوش سنگ میدان نفتی کوپال به شرح زیر می‌باشد:

۱۴-۱-۱- Cap rock / Key Bed / A

مشکل از انیدریت سفید تا خاکستری رنگ و گاهی شفاف و بلورین با بافت نودولی می‌باشد. در زیر میکروسکوپ دارای بافت اسفلولیتی (تصویر ۲-B)، پورفیروبلاستیک (تصویر ۲-G)، پهن (تصویر ۲-K) و نودولار (تصویر ۲-C) می‌باشد. درشت بلور بوده و همراه با آن کریستال‌های منفرد معروف به کربنات‌های D₂ (تصویر ۲-E و تصویر ۲-F) دیده می‌شوند. از دیگر ناخالصی‌های این انیدریت‌ها، کوارتز کلسdone و پیریت می‌باشد. ضخامت متوسط این طبقه ۲ متر بوده و گاهاً در برخی قسمت‌های میدان تا ۳/۵ متر نیز دیده می‌شود.

۱۴-۱-۲- Cap rock / Key Bed / B

این لایه از شیل سیاه‌رنگ تا قهوه‌ای تیره‌ی بیتومین‌دار با ذرات سیلت، ماسه، پیریت و گاهماً انیدریت تشکیل شده است (تصویر ۲-C). این طبقه به ضخامت‌های ۱۵ تا ۷۵ سانتی‌متری دیده شده است. تغییرات این افق در طول میدان چندان محسوس نبوده و مهمترین افق کلیدی پوش سنگ در میدان جنوب غرب ایران می‌باشد.

۱۴-۱-۳- Cap rock / Key Bed / C

آهک کرم‌رنگ تا خاکستری بلورین که متراffد با آهک بالای پوش سنگ می‌باشد. طبق مطالعه‌ی مقاطع نازک، این لایه‌ی راهنما در بعضی از چاه‌های میدان از مادستون همراه با ماده‌ی آلی و سولفات تشکیل شده است. عمولأً به صورت وکستون تا مادستون دیده شده و همراه با آن‌ها سیلت، ماسه، انیدریت، سلسیت و اوولیت کاذب (Pseudo oolite) مارنی نیز دیده می‌شود.

۱۴-۱-۴- Cap rock / Key Bed / D

آهک خاکستری‌رنگ تا قهوه‌ای روشن بلورین با دانه‌بندی ریز تا متوسط به صورت مادستون تا وکستون می‌باشد. سودو الیت‌های مارنی

کانی‌های رسی نشان می‌دهد (رضابی ۱۳۸۰). در سنگ‌های تبخیری دانه‌ریز نظری مارن و شیل، به علت حضور کانی‌های رسی قرائت‌های بالای پرتوی گاما وجود دارد. در حالی‌که در سنگ‌های کربناته ممکن است به علت فقدان کانی‌های رسی قرائت پرتوی گاما بسیار کم باشد. به دلیل این‌که افق‌های کلیدی C, D, E, F از سنگ آهک خالص تشکیل نشده و دارای اندکی رس می‌باشد، اندازه‌ی پیک‌های گامای مربوط به آن‌ها (کمتر از ۲۰ درجه API) کوتاه‌تر از مارن می‌باشد. اگر مقدار API از ۲۰ درجه بالاتر برود، سنگ آهک شدیداً رس دار شده و به مارن تبدیل می‌شود (Serra 1984). در میدان مورد مطالعه، تنها چاه شماره‌ی ۹ است که افق‌های کلیدی آن (مخصوصاً افق‌های D و E) مقدار API بالای ۲۰ را نشان می‌دهند که می‌توان نتیجه گرفت از مارن تشکیل شده‌اند. نتایج پتروگرافی نیز این گفته را تأیید می‌کند. مقدار عناصر رادیواکتیو در انیدریت و هالیت تقریباً صفر و یا خیلی پایین می‌باشد. به طوری‌که مجزاً کردن این لیتولوژی‌ها از طریق این نمودار امکان پذیر نبوده و باید از نمودار سونیک (Sonic) استفاده کرد. مقدار عناصر رادیواکتیو در داخل مارن‌ها بیشتر از آهک و در آهک نیز بیشتر از انیدریت و هالیت می‌باشد.

۱۴-۲- نمودار صوتی

اساس کار این نمودار، ایجاد یک ضربه‌ی صوتی است که توسط تولید کننده‌ی صدا منتشر می‌شود. این پالس تولید شده، توسط گیرنده‌هایی ثبت شده و با تقسیم زمان عبور به مسافت سرعت در داخل سنگ‌ها محاسبه می‌شود. این نمودار عمق را در مقابل زمان، اندازه‌گیری نموده و آن، مدت زمانی است که یک ضربه‌ی صوتی (Acoustic pulse) طول معینی از سنگ (یک فوت) را طی می‌کند که به آن زمان عبور (Transit Time) گفته می‌شود و واحد آن میکروثانیه در فوت است. به طورکلی، سرعت عبور امواج فشارشی (Compressional waves) از داخل یک سنگ، به ترکیب سازنده و مایعات موجود در آن و مقدار تخلخل آن بستگی دارد. در این مطالعه ۴ حلقه چاه از ۴۳ حلقه چاه موجود در میدان مورد مطالعه که دارای لاجه‌های گاما و صوتی (سونیک) بودند، انتخاب شده و دریک مقطع طولی در جهت شمال غرب- جنوب شرق، نمودار تطبیقی (Correlation Chart) مربوط به آن تهیه شد. همچنین برای تطبیق دقیق‌تر چاه‌ها و افق‌های کلیدی پوش سنگ، مطالعات پتروگرافی در گروه زمین‌شناسی دانشکده‌ی علوم دانشگاه شهید چمران و میکروسکوپ الکترونی SEM مدل Leo1455Vp (آزمایشگاه مرکزی دانشگاه شهید چمران اهواز) از نمونه‌خرده‌های حفاری انتخاب شده از افق‌های مختلف صورت گرفته است.

رس می‌باشدند. در بعضی چاهه‌ها از آهک جلبکی تشکیل یافته است. این لایه به خاطر نزدیکی به سازند آسماری دارای ذرات نفتی می‌باشد که احتمالاً به دلیل حرکت نفت از شکستگی‌های ایجاد شده، در رأس سازند آسماری است.

۴-۱۴- فرآیندهای دیاژنیکی

فرآیندهای مختلف رسوبی و دیاژنیکی درگیر در ایجاد رسوبات سولفات کلسیم در محله‌ای محیطی متفاوت، از حواشی کم عمق تا آب عمیق، انفاق می‌افتد (Schreiber & El-Tabakh 2000). با این وجود انیدریت درست شده در این محیط‌ها ممکن است، در بعضی مواقع دارای فابریک‌های بلوری و رخسارهای مشابهی باشد (Kendall 1992, Rouchy et al. 2001) بنابراین یک توافق لکی مبنی بر تشخیص اشکال واپلله (رسوبی) و ثانویه (بعد رسوب‌گذاری) در سنگ‌های سولفاتی مناطق دفنی وجود ندارد (Hardie 1990, Spencer & Lowenstein 1990). رسوبات سولفاتی در پوش‌سنگ میدان، تغییرات دیاژنیکی متفاوتی را از سطح تا عمق متحمل شده‌اند. به طوری که بسته به زمان رسوب-گذاری و تأثیر فرآیندهای دیاژنی، بافت‌های متفاوتی در داخل انیدریتها به وجود آمده است. فرآیندهای دیاژنیکی عمدۀ در سولفات‌ها، شامل انیدریتیزاسیون، سیمانی شدن، تراکم، جانشینی و تبلور دوباره می‌باشدند.

۴-۱۵- انیدریتیزاسیون

حضور انیدریت‌های نودولی و نودولی- موzaïekی در پوش‌سنگ نشان‌دهنده‌ی انیدریتیزاسیون هم‌زمان با رسوب‌گذاری (Shearman 1985, Rouchy et al. 1995) در محیط تبخیری بوده، و نشانه محیط سبک‌خانی یا حاشیه پلاتنفرمی است. حضور نودول انیدریتی (تصویر ۲-۳) همراه با بلورهای سودومورف بزرگ انیدریتی و بلورهای کشیده و سوزنی (تصویر ۲-K) از اشکال متداول انیدریتی شدن اوّلیه می‌باشد. نودول‌های انیدریت، سفیدرنگ بوده و اندازه‌ی سانتی‌متری یا بزرگ‌تر را دارند و از کریستال‌های به شکل Lath شکل ۱mm تا بیشتر از ۱mm تشکیل شده‌اند. نودول‌ها به‌وسیله‌ی ماتریکس مادستون‌های آواری (تصویر ۲-C)، کربنات یا سولفات از یکدیگر جدا می‌شوند و به دلیل افزایش فشار روباره، نودول‌ها به‌صورت موازی هم در لایه‌های نازک قرار گرفته‌اند. نودول‌ها به‌صورت گوهای شکل و یا دایره‌مانند بوده و الگوهای انترالیتیک و chicken-wire را نشان می‌دهند. عوامل ایجاد‌کننده‌ی نودول‌های انیدریتی متعدد بوده و نودول‌ها دارای ژنر چندگانه می‌باشند و در زمان‌های مختلف ایجاد می‌شوند که ممکن

نیز در آن دیده می‌شود (تصویر ۲-D) که با توجه به آن‌ها می‌توان محیط تشکیلی این لایه را آرام مردابی در نظر گرفت.

هالیت در سمت شمال غرب پوش‌سنگ میدان مورد مطالعه در بین طبقات کلیدی C و D وجود دارد. اهمیت تشخیص این لایه در این است که با حفاری پوش‌سنگ در این ناحیه از میدان، می‌توان از نزدیک شدن به مخزن آسماری مطلع شده و اقدامات لازمه برای لوله‌گذاری در پوش‌سنگ را مهیا کرد. بنابراین به دلیل اهمیت نسبتاً بالای این لایه باید به‌شرح خلاصه‌ای از این لایه پرداخت.

بلورهای هالیت معمولاً به صورت شورون‌های بزرگ در لایه‌های ممتد می‌باشند. لایه‌های هالیت، از یک سری لایه‌های رسوبی تشکیل شده است که به‌وسیله‌ی سطوح انحلالی هموار (flat) از یکدیگر جدا می‌شوند. هر سطح قطع شده، بیشتر به‌وسیله‌ی پیت‌های انحلالی (pit) که به سمت لایه‌ی پائینی وسعت پیدا کرده، مخفّص می‌شود (تصویر ۳-G,H). فرسایش و قطع شدگی (پیت‌های انحلالی) نتیجه‌ی در معرض قرار گرفتن کوتاه‌مدت هالیت و یا ورود مجدد آب‌های با غاظت پایین و تحت اشباع می‌باشد (Schreiber & El-Tabakh 2000, Shearman 1970).

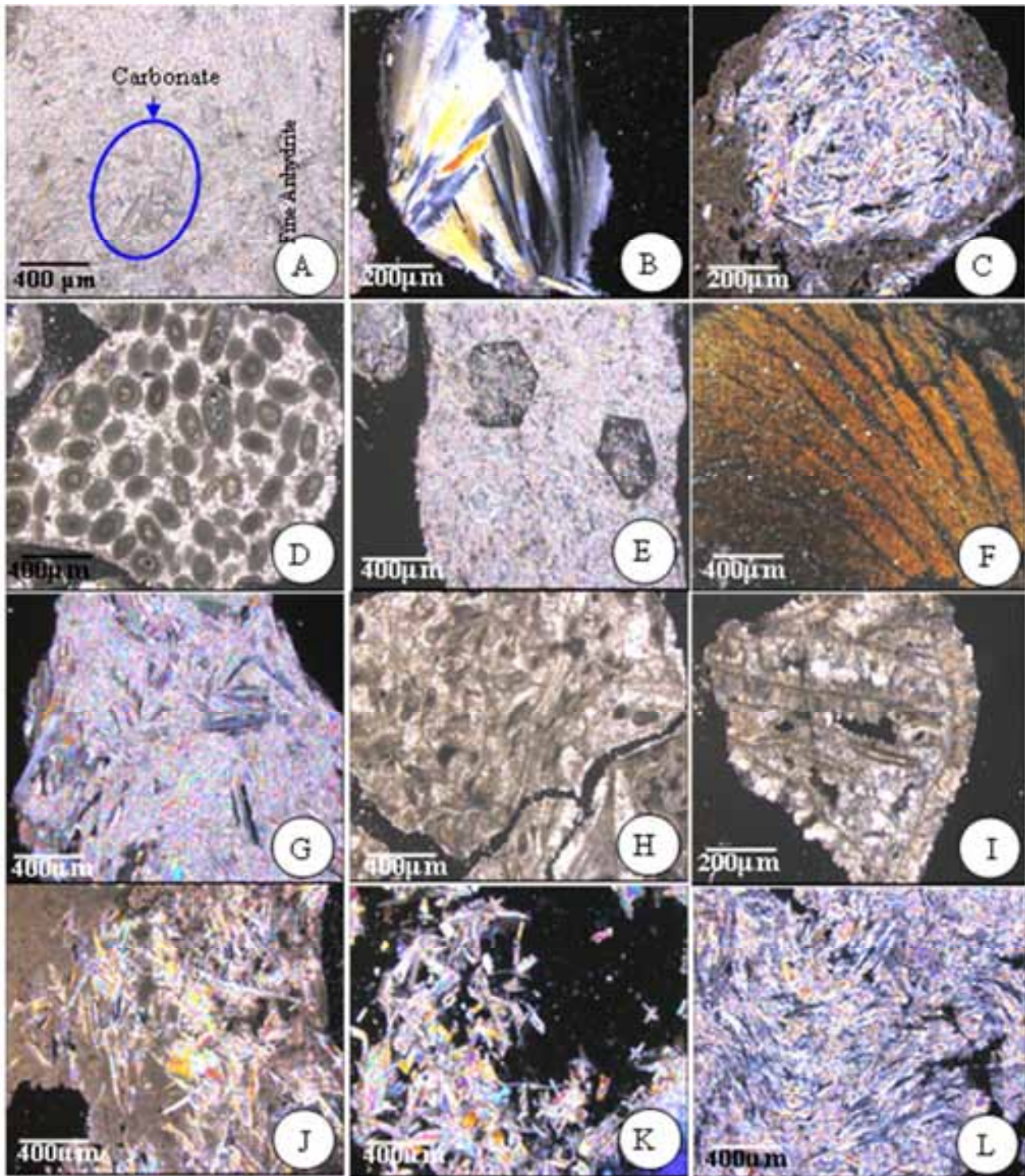
هالیت در محیط‌های کم عمق بیشتر به صورت جناغی و هوپر (Hopper) (رسوب‌گذاری کرده)، در حالی که در محیط‌های عمیق به صورت لایه‌بندی شده می‌باشد (Hardie et al. 1985). چون هالیت رسوب یافته در پوش‌سنگ میدان دارای بافت‌های هوپر و شورون (Hopper, Chevron) می‌باشد، بنابراین می‌توان به این نتیجه رسید که محیط رسوبی پوش‌سنگ یک محیط بین قله و دریا (سبک‌خانی لاگونی) می‌باشد. هالیت در پوش‌سنگ منطقه‌ی مورد مطالعه با درجه خلوص تقریباً ۸۹ درصد، بین افق‌های کلیدی C و D وجود داشته و بیشترین ضخامت (حدوداً ۵ متر) در چاه شماره‌ی ۱۲ شناسایی شده و فقط در سمت شمال غرب و بعض‌اً به صورت جزئی در داخل انیدریت‌ها مشاهده می‌شود (تصویر ۴). این موضوع نشان می‌دهد که محیط رسوبی پوش‌سنگ در این قسمت کم عمق‌تر و به سمت جنوب شرق عمیق‌تر شده است.

۴-۱۶- Cap rock / Key Bed / E

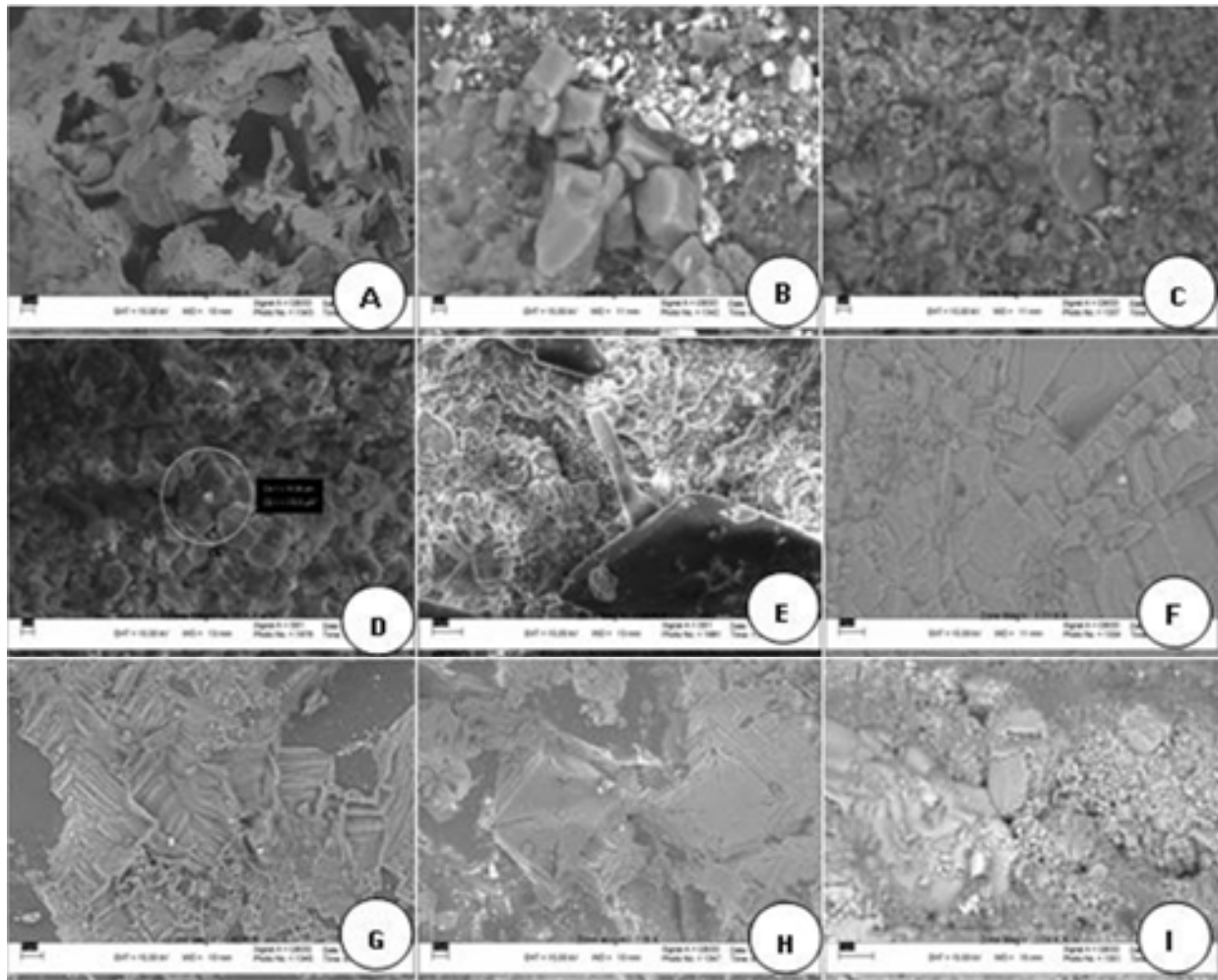
آهک خاکستری روشن تا قهوه‌ای دانه‌ریز مادستون (Mudstone) با آثار تبلور دوباره که معمولاً بدون فسیل می‌باشد. دانه‌های انیدریت با بلورهای سوزنی شکل و با آثار مارنی، کوارتز و سلسیت نیز در این لایه راهنمای دیده می‌شود.

۴-۱۷- Cap rock / Key Bed / F

آهک خاکستری روشن تا قهوه‌ای کمرنگ ریزدانه ندرتاً تبلور مجذد یافته دارای سلسیت (Celestite) و ذرات ماسه و اندکی



تصویر ۲- تصاویر میکروسکوپی بافت‌های موجود در پوش سنگ میدان نفتی کوپال. (A) دولومیت‌های D_2 افق کلیدی A در زمینه ایندریت‌های میکروکریستالین (3269m چاه شماره ۳). (B) بافت آسفوولیتی ایندریت (3280m چاه شماره ۳). (C) بافت نودولی ایندریت (3268m چاه شماره ۳). (D) مارنی در زمینه ایندریت همراه با آهک خاکستری رنگ در افق کلیدی D (3307m چاه شماره ۱). (E) جانشینی بلورهای ژیپس در زمینه ایندریت ریز بلور (3313m چاه شماره ۳۸). (F) بیتومین شیل افق کلیدی B (3292m چاه شماره ۱۲). (G) بافت پورفیروبلاستیک (3274m چاه شماره ۱۲). (H) آهک خاکستری دارای فسیل‌های جلبک و ایندریت پر کننده حفرات فسیل (3371m چاه شماره ۳). (I) دولومیت جانشین کننده حفرات فسیل‌ها (3308m چاه شماره ۱). (J) سیمان ایندریتی جانشین شده در فضاهای خالی مادستون (3288m چاه شماره ۲۲). (K) ایندریت با بافت Lath (3326m چاه شماره ۱). (L) بافت جریانی مربوط به ایندریت (3334m چاه شماره ۱۸).



تصویر ۳- تصاویر میکروسکوپ الکترونی بعضی از خردۀای خالی مربوط به هالیت (۳۲۸۸m). (B) بلور های شکل دار اندیریت (۳۳۸۹m) چاه شماره ۱۹. (C) شیل دانه ریز (۳۳۶۶m) چاه شماره ۳۰. (D) بلورهای شکل دار اندیریت (۳۳۰۶m) چاه شماره ۳۰. (E) بلور های لوزی شکل کربنات در زمینه اندیریت (۳۳۵۵m) چاه شماره ۲۲. (F) اندیریت بلوکی (KL#30, 3366m). (G, H) بافت های Chevron (Peryt & Jasionowski 1994).

انحلال نمک می‌باشد (تصویر ۳-A)، دانه‌ای (تصویر ۳-B و تصویر ۳-D)، اندیریت بلوکی (تصویر ۳-F) و ایترولیتیک (تصویر ۳-I) نیز دیده می‌شوند.

بافت نودولی اندیریت متعلق به محیط‌های کم عمق (Schreiber et al. 1982) و یا محیط سبخایی (Shearman et al. 1976) بافت اندیریت لایه‌ای یا لامینه‌ی متعلق به محیط عمیق (Schreiber et al. 1982) است. از این دو بافت حالت نودولی بیشتر در پوش‌سنگ دیده می‌شوند.

۴-۲-۴- سیمانی شدن

سیمانی شدن اوئیه، میکانیسم اصلی حفظ سختی سودومورف‌های اندیریتی می‌باشد که آنها را در مقابل فشار فراینده‌ی ناشی از وزن روباره و فشار آب‌های منفذی حفظ می‌کند (Shearman 1985). جانشینی ژیپس‌های اوئیه به وسیله‌ی سودومورف‌های اندیریتی و

است، به وسیله‌ی رشد دیاژنر آغازین اندیریت / ژیپس در سبخا یا به وسیله‌ی کریستالیزاسیون ژیپس در دریاچه‌های شور کم عمق باشد (Peryt & Jasionowski 1994).

پدیده‌های دیگر مانند لغزش-های موجود در داخل لامینه‌های داخل حوضه نیز در ایجاد آنها دخالت دارند. رشد این نودول‌ها در داخل لایه‌ها باعث تغییر شکل لایه‌های اطراف می‌شود که در تشخیص این‌که نودول قبل از دیاژنر به وجود آمده است یا بعد از دیاژنر، حائز اهمیت می‌باشد. شرمن و باتلر (Sherman et al. 1976, Butler et al. 1983) ثابت کردند که این نودول‌ها از اشکال دیاژنیکی اوئیه می‌باشند.

وایگاس و اورتی (Veigas 1997, Orti 1977) نشان دادند که نودول‌های اندیریتی مخصوص محیط سبخایی نبوده و در محیط‌های دریاچه‌ای پلایا نیز ممکن است ایجاد شوند.

تبدیل ژیپس به اندیریت با افزایش عمق در پوش‌سنگ میدان دیده می‌شود (تصویر ۲-E). اندیریت‌های با حفرات خالی که مربوط به

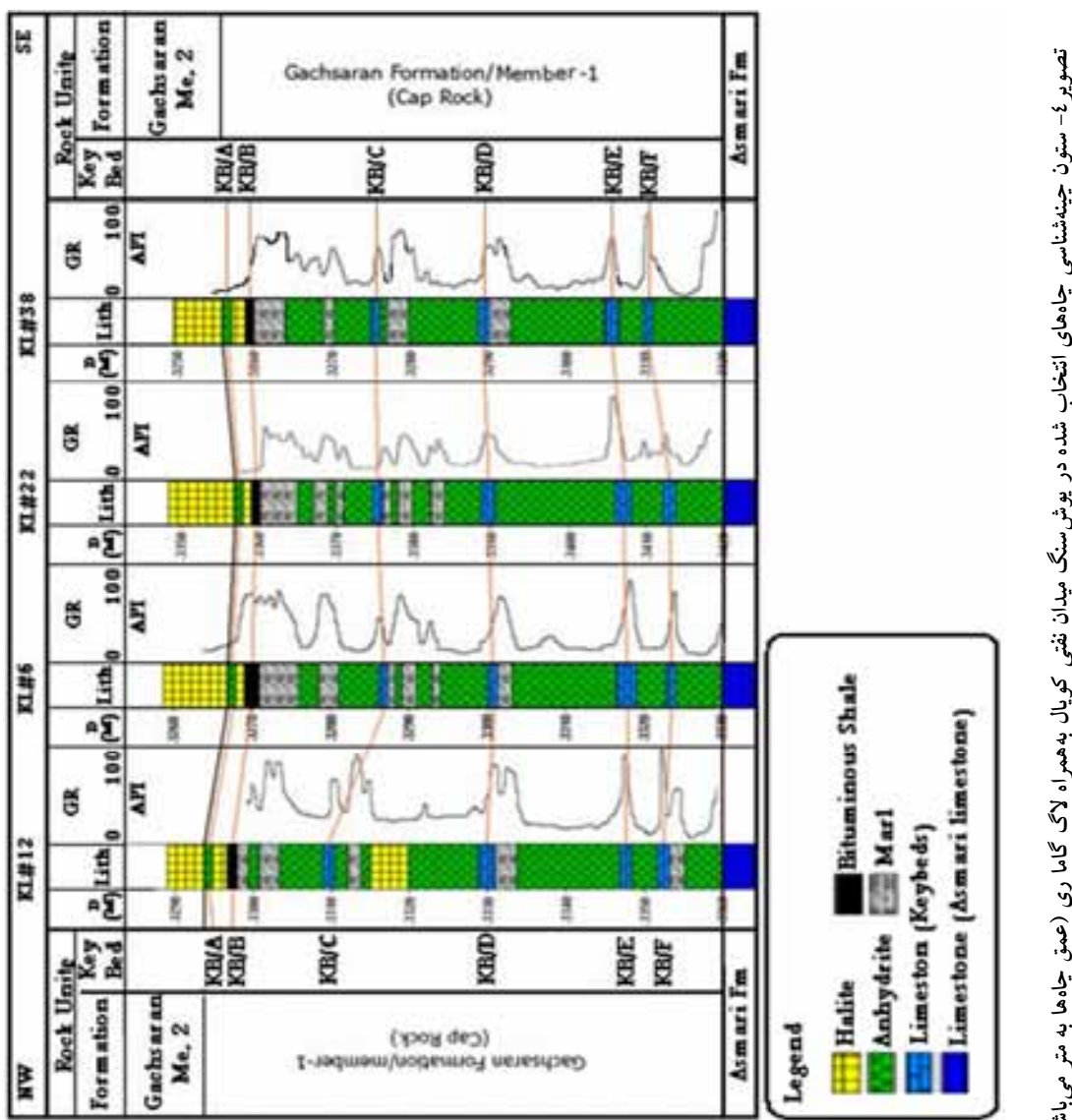
جانشینی اnidritی اسپاری با الیت‌ها و پلوئیدها (تصویر-2-D) نیز دیده می‌شود. بیشترین سیمان موجود در پوش‌سنگ میدان، اnidrit پرکنده حفرات می‌باشد. این اnidrit‌ها در پوش‌سنگ به صورت سیمان بین بلورهای سولفات، کربنات (تصویر-2-H) و کوارتز دیده می‌شوند.

۱۴-۳-۲- تراکم

در این میدان یکی از مهمترین فاکتورهای کنترل فابریک اnidrit‌ها و فرآیند اnidritی‌سیون درجه متفاوت سنگ شدن رسوبات زیپس اولیه می‌باشد. بهم فشرده‌گی رسوبات و دگرگشکلی عمدۀ در فابریک اnidrit اولیه (خم‌شده‌گی، شکست و آرایش مجدد) (تصویر-2-L) عمدتاً در زمان تدفین ایجاد می‌شود. در برخی قسمت‌ها با توجه به فابریک جانشینی اnidrit و دگرگشکلی نامحسوس بلورهای سوزنی همچنین در داخل بلورها، بین ذرات، حفره‌های خالی دیده می‌شوند.

به‌ویله‌ی سیمانی شدن اnidritی همراهی شده و یا پس از آن اتفاق می‌افتد و باعث حفظ مورفولوژی زیپس‌های اولیه می‌شود (Kasprzyk 1995).

انidrit در پوش‌سنگ میدان در سه حالت لایه‌ای، نودولی و سیمان دیده می‌شود. در لایه‌ها و نودول‌ها، کریستال‌های اnidritی ریزدانه به حالت کشیده با طول تقریبی ۵۰ میکرومتر دیده می‌شوند. در جایی که بلورهای کربناتی یا سولفاتی دچار انحلال جزئی شده‌اند و یا حفره‌های خالی در داخل مارن‌ها و مادستون‌های (تصویر-2-J) آن وجود دارد، اnidrit به صورت اسپاری با اندازه‌ی بلورهای بزرگ‌تر از ۲ میلیمتر در نقش سیمان ظاهر شده است. سیمان‌های اnidritی به صورت بلوك‌های درهم قفل شده و فرم‌های فیبر مانند با جهت یافته‌گی تصادفی و یا فابریک ضربه‌ری (dehydrated) می‌باشند. این سیمان‌ها همچنین در داخل بلورها، بین ذرات، حفره‌های خالی دیده می‌شوند.



تصویر-۲- سوزن‌بین‌شناسی جهادی انتساب شده در پوش‌سنگ میدان شنی کوبل به همراه لاغ کاما ری (عمق جاهای به مردمی باشد).

-۱- احیایی باکتریالی سولفات در رسوبات غنی از مواد آلی و -۲- انحلال سولفات به‌وسیله‌ی آب‌های حاوی بی‌کربنات. با توجه به این‌که در سولفات‌های منطقه‌ی مورد مطالعه رسوبات غنی از مواد آلی وجود ندارد، بنابراین ایجاد کربنات‌ها به‌وسیله‌ی مکانیسم دوم، محتمل به‌نظر می‌رسد.

انیدریت (مثل بافت ضربدری (Decussate) در بلورها) می‌توان استنباط کرد که تراکم مقدم بانیدریتی شدن باشد.

۴-۴-۲- تبلور مجدد

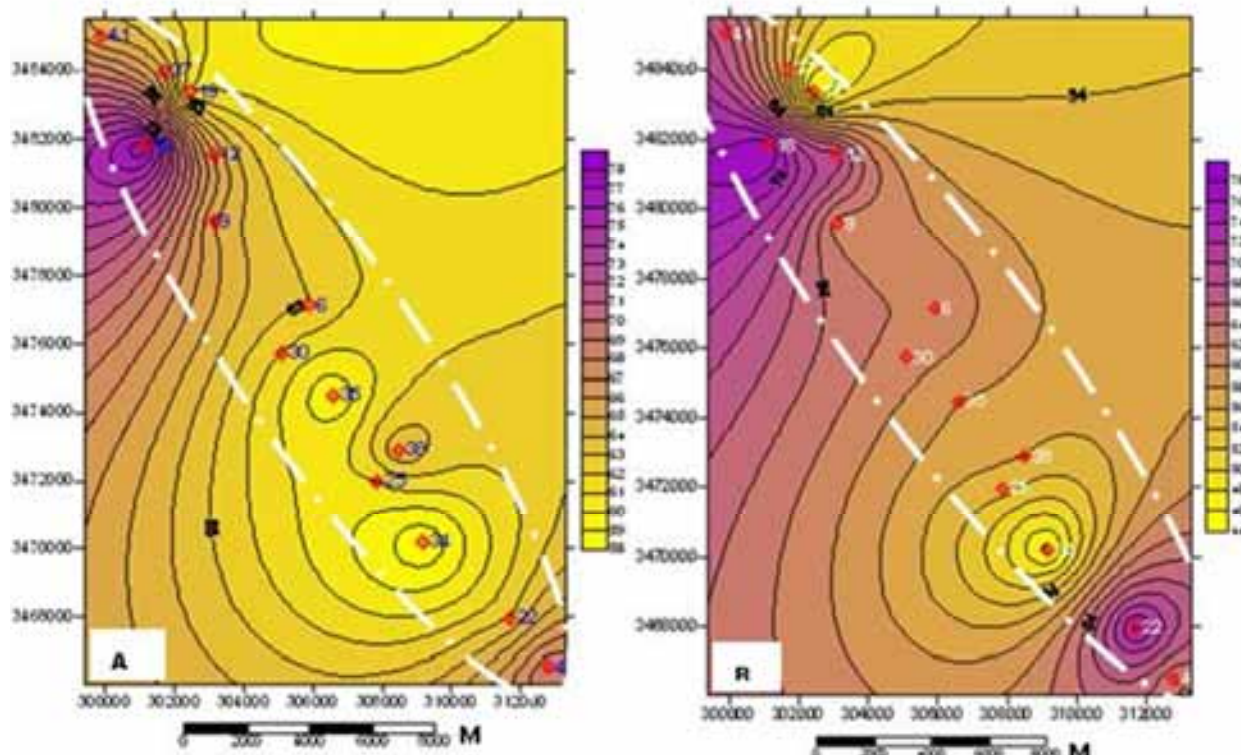
بسیاری از فابریک‌های انیدریت پوش‌سنگ بلورهای بزرگ و بلوکی را نشان می‌دهند که تحت تأثیر دگر‌شکلی شدید و تبلور دوباره بخشی قرار گرفته‌اند. انیدریت‌های دانه‌درشت و اسپاری در درجه حرارت‌های بالای تدفین و یا در اثر تبلور دوباره‌ی بلورهای انیدریت دانه‌ریز در محیط تدفینی حاصل شده‌اند (El-Tabakh et al. 2004).

۴-۴-۳- چالشینی و کلسیتیزاسیون

تغییرات شیمیایی در سیالات ممکن است، انحلال کانی‌های ناپایدار و جانشینی آن‌ها به‌وسیله‌ی کانی‌هایی که در شرایط شیمیایی جدید پایدار هستند را باعث شود. یون‌های بی‌کربنات معمولاً از انحلال CO_2 ایجاد شده از اکسیداسیون مواد ارگانیکی دریاچه‌ای یا قاره‌ای در آب حاصل می‌شود. با افزایش ورود آب‌های حاوی بی‌کربنات، کلسیتیزاسیون افزایش می‌یابد.



جانشینی سولفات به‌وسیله‌ی کربنات‌ها حداقل به‌وسیله‌ی دو مکانیسم کنترل می‌شود (Pierre & Rouchy 1998):



تصویر ۵- نقشه‌ی هم‌ضخامت پوش‌سنگ (بخش ۱ سازند گچساران) میدان نفتی کوپال A- ایزوپک. B- ایزوکور

- ۵- از سمت جنوب شرق به سمت شمال غرب ضخامت پوش‌سنگ میدان زیاد می‌شود. کمترین مقدار ضخامت در سمت جنوب شرق در چاه شماره‌ی ۳۴ (۴۵ متر) و بیشترین مقدار ضخامت در سمت شمال غرب در چاه شماره‌ی ۱۲ (۷۳ متر) می‌باشد.
- ۶- این مطالعه نشان داد که بهترین مکان جهت لوله جداره افق راهنمایی باشد.
- ۷- شواهد بافتی ایندیریت، ویژگی‌ها و تغییرات سنگ‌شناسی پوش‌سنگ، نشان‌دهنده‌ی رسوب‌گذاری آن در محیط آرام (سبخایی - لاکونی) است.

تشکر و قدردانی

بدین‌وسیله از همکاری و حمایت‌های دانشگاه شهید چمران اهواز و شرکت ملی مناطق نفت‌خیز جنوب و همکاران محترم در گروه زمین-‌شناسی و نیز از داوران محترم مقاله که در بالا بردن کیفیت مقاله نقش داشته‌اند کمال تشکر و قدردانی را دارم.

مراجع

- رضایی، م. ر., ۱۳۸۰, "زمین‌شناسی نفت", تهران، علوی. ۴۷۰ ص.
- موحد، ب., ۱۳۷۸, "مبانی چاه‌پیمایی", انتشارات دانشگاه صنعتی امیر کبیر، ۳۲۷ ص.
- مطیعی، ه., ۱۳۶۴, "پوش‌سنگ، گزارش شماره پ-۳۹۳۲-۳، شرکت ملی مناطق نفت‌خیز جنوب", ۱۱۵ ص.

AlSharhan, A. S. & Kendall, C. G. St. C., 1994, "Depositional setting of the Upper Jurassic Hith Anhydrite of the Persian Gulf: an analog to Holocene evaporates of the United Arab Emirates and Lake MacLeod of Western Australia", *American Association of Petroleum Geologists Bulletin*, Vol. 78: 1075–1096.

Butler, G. P., Harris, P. M. & Kendall, C. G. St .C., 1982, "Recent evaporates from the Abu Dhabi coastal flats", In: *Hanford, G. R., Loucks, R. G & Davies, G. R. (eds.), Deposition and Diagenetic Spectra of Evaporites, Society of Economic Palaeontologists and Mineralogists Core Workshop 3: 33–64.*

Downey, M. W., 1984, "Evaluating seals for hydrocarbon accumulations", *American Association of Petroleum Geologists Bulletin*, Vol. 68: 1752-1763.

Dunlop, J. S. R., 1978, "Shallow-water sedimentation at North Pole, Pilbara Block, Western Australia", *University of Western Australia, Geology Department & University Extension Publ.*, Vol. 2: 30-38.

El-Tabakh, M., Mory, A., Schreiber, B. C. & Yasin, R., 2004, "Anhydrite cements after dolomitization of

ضخامت نمک اصلی به دلایل مختلفی در چاه‌های مختلف چاه روش‌های تغییرات زیادی شده، به طوری که ضخیم‌ترین حالت در چاه شماره‌ی ۴۳ (۹۵ متر) و نازک‌ترین آن در چاه شماره‌ی ۲۹ (ضخامت صفر) می‌باشد. ضخامت این نمک در چاه شماره‌ی ۳۰ (جنوب شرق میدان) یکباره تا ۷۵ متر می‌رسد. با توجه به این که ضخامت پوش‌سنگ و در کل، سازند گچساران به سمت خلیج فارس کمتر می‌شود، می‌توان این افزایش ضخامت را به دلیل عوامل تکتونیکی و گسل‌خوردگی دانست. نمک اصلی به دلیل ضخامت زیاد، در تشخیص ورود به پوش‌سنگ در جریان حفاری، کمک زیادی می‌کند.

چند عامل در تغییرات ضخامت پوش‌سنگ مؤثر می‌باشد:

- ۱- موقعیت جغرافیایی پوش‌سنگ در سیستم رسوی اویله، ۲- تغییرات ضخامت در ابعاد و موقعیت هندسی یک ساختار و ۳- عوامل تکتونیکی هم‌زمان با رسوب‌گذاری پوش‌سنگ.

با توجه به قرار گرفتن میدان نفتی کوپال در قسمت میانی فروافتادگی ذرفول شمالی و بالا آمدن نواحی میانی خلیج فارس امروزی در زمان رسوب‌گذاری پوش‌سنگ، انواع پوش‌سنگ‌های نمکدار، کامل و حاشیه‌ای ایجاد شده‌اند. بنابراین می‌توان گفت، ضخامت پوش‌سنگ‌های نمکدار بیشتر از ضخامت پوش‌سنگ‌های کامل و ضخامت پوش‌سنگ‌های کامل نیز بیشتر از پوش‌سنگ‌های حاشیه‌ای است (مطیعی ۱۳۶۴). با توجه به این که پوش‌سنگ در میدان مورد مطالعه جزء پوش‌سنگ‌های کامل نمکدار می‌باشد، می‌توان نتیجه گرفت که این میدان بیشترین ضخامت پوش‌سنگ را دارد می‌باشد.

۵- تئیم‌گیری

با انجام مطالعات و بررسی‌های صورت گرفته چنین نتیجه‌گیری می‌شود که:

- ۱- ترکیب سنگ‌شناسی پوش‌سنگ مخزن آسماری در میدان کوپال به طور عمده ایندیریت بوده و آن را در ذمراه پوش‌سنگ‌های ایندیریتی قرار می‌دهد.
- ۲- مطالعات پتروگرافی طبقات راهنمای نشان داد که طبقه‌ی A از ایندیریت، B شیل بیتومینه، و طبقات C, D, E, F از آهک تشکیل یافته‌اند.
- ۳- پدیده‌ی کلسیتیزاسیون در داخل ایندیریت‌ها مشاهده می‌شود. بافت‌های پهن، جانشینی، اسفروولیتی، نودولی در ایندیریت‌ها دیده می‌شوند. بلورهای کلسیت موجود در پوش‌سنگ به واسطه‌ی پدیده‌ی جانشینی به وجود آمده‌اند.
- ۴- فرآیندهای دیاژنزی عمده در اندیریت‌های پوش‌سنگ میدان، ایندیریتیزاسیون، سیمانی شدن، تراکم، تبلور مجلد و جانشینی می‌باشد.

Sedimentology, 50, Elsevier, Amsterdam, 1991, 556 pp., US \$120.-/Dfl. 120.-, ISBN 0-444-88680-X.", *Sedimentary Geology*, Vol. 81 (1-2): 161-162.

Lugli, S., 2001, "Timing of post-depositional events in the Burano Formation of the Secchia valley (Upper Triassic, Northern Apennines), clues from gypsum-anhydrite transitions and carbonate metasomatism", *Sedimentary Geology*, Vol. 140 (1-2): 107-122.

Melvin, J. L., 1991, "Evaporites, Petroleum and Mineral Resources (Developments in Sedimentology)", *Elsevier Science*, 556 pp.

Orti, F., 1997, "Continental evaporitic sedimentation in the south East Border of the Ebro basin (Catalanides) during the Paleocene to Lower Oligocene", In: *Busson, G. & Schreiber, B. C., (eds.), Sedimentary Deposition in Rift and Foreland Basins in France and Spain (Paleogene and Lower Neogene)*", Columbia University Press, New York: 388-396.

Peryt, T. M. & Jasionowski, M., 1994, "In situ formed and redeposited gypsum breccias in the Middle Miocene Badenian of southern Poland", *Sedimentary Geology*, Vol. 94(1-2): 153-163.

Pierre, C. & Rouchy, J. M., 1998, "Carbonate replacements after sulfate evaporates in the middle Miocene of Egypt", *Journal of Sedimentary Research*, Vol. 58(3): 446-456.

Pilman, D., Skinner, T., Denton, R., Hansen, M. & Torres, D., 2009, "Cost Effective Reservoir Characterization, Utilizing Dielectric Logging Measurements, San Joaquin Basin, California", *SPE Annual Technical Conference and Exhibition*, 4-7 October 2009, New Orleans, Louisiana:124206-MS.

Rouchy, J. M., Noël, D., Wali, A. M. A. & Aref, M. A. M., 1995, "Evaporitic and biosiliceous cyclic sedimentation in the Miocene of the Gulf of Suez—Depositional and diagenetic aspects", *Sedimentary Geology*, Vol. 94 (3-4): 277-297.

Rouchy, J. M., Taberner, C. & Peryt, T. M., 2001, "Sedimentary and diagenetic transitions between carbonates and evaporates", *Sedimentary Geology*, Vol. 140 (1-2): 1-8.

Schreiber, B. C. & El-Tabakh, M., 2000, "Deposition and early alteration of evaporites", *Sedimentology*, Vol. 47 (Supplement s1): 215-238.

Schreiber, B. C., Roth, M. S. & Helman, M. L., 1982, "Recognition of primary facies characteristics of evaporites and differentiation of these forms from diagenetic overprints", In: *Handford, C. R., Loucks, R.G. & Davis, G.R. (eds.), Depositional and Diagenetic*

shallow marine Silurian carbonates of the Gascoyne Platform", *Southern Carnarvon Basin, Western Australia Sedimentary Geology* Vol. 164(1-2): 75-87.

Grunau, H. R., 1987, "A world wide look at the cap-rock problem", *Journal of Petroleum Geology* Vol. 10 (3): 245-265.

Hardie, L. A., 1990, "The roles of rifting and hydrothermal CaCl₂ brines in the origin of potash evaporates: an hypothesis", *American Journal of Science*, Vol. 290: 43-106.

Hardie, L. A., Lowenstein, T. K. & Spencer, R.J., 1985, "The problem of distinguishing between primary and secondary features in evaporates", In: *Schreiber, B. C. & Hamer, H. L. (eds.), Sixth International Symposium on Salt, Salt Institute*, Vol. 1: 11-39.

Hardie, L. A., 1984, "Evaporites: marine or non-marine?" *American Journal of Science*, Vol. 284: 193-241.

Holser, W. T., 1979, "Mineralogy of Evaporites", In: *Burns, R. G. (ed.), Marine Minerals: Mineralogical Society of America Short Course Notes*, Washington, D. C., Mineralogical Society of America, Vol. 6: 124-150.

Hsü, K. J., Montardert, L., Bernoulli, D., Cita, M. B., Erickson, A., Garrison, R., Kidd, R. B., Melieres, F., Müller, C. & Wright, R., 1977, "History of the Messinian salinity crisis", *Nature*, Vol. 267: 399-403.

Illing, L.V., Wells, A. J. & Taylor, J. C. M., 1965, "Penecontemporary dolomite in the Persian Gulf", In: *Gray, L. C. P. & Murray, R. C. (eds.), Dolomitization and Limestone Diagnosis: A Symposium, Society of Economic Palaeontologists and Mineralogists, Special Publication* 13: 89-111.

Kasprzyk, A., 1995, "Gypsum-to-anhydrite transition in the Miocene of southern Poland", *Journal of Sedimentary Research*, Vol. 65 (2a): 348-357.

Kasprzyk, A., 2003, "Sedimentological and diagenetic patterns of anhydrite deposits in the Badenian evaporite basin of the Carpathian Foredeep, southern Poland", *Sedimentary Geology*, Vol. 158 (3-4): 167-194.

Kasprzyk, A., 2005, "Diagenetic alteration of Badenian sulphate deposits in the Carpathian Foredeep Basin, Southern Poland: processes and their succession", *Geological Quarterly*, Vol. 49 (3): 305-316.

Kendall, A. C., 1984, "Evaporites", In: *Walker, R. G. (ed.), Facies Models*, 2nd Edition, Geoscience Canada Reprint Ser. 1: 259-296.

Kendall, C., 1992, "Evaporites, petroleum and mineral resources: J.L. Melvin (Editor). Developments in

Spectra of Evaporites—A Core Workshop", Soc. Econ. Paleontol. Mineral. Core Workshop, Calgary, Alta., No. 3: 1–32.

Serra, O., 1984, "Fundamentals of Well-Log Interpretation: The Acquisition of Logging Data", Elsevier Science Ltd, 424 pp.

Shearman D. J., 1985, "Syndepositional and late diagenetic alteration of primary Gypsum to anhydrite", In: *Sixth International Symposium on Salt*, Schreiber, B. C. & Harner, H. L. (eds.), Salt Institute, Alexandria, Virginia, Vol. 1: 41-50.

Shearman, D. J., 1970, "Recent halite rock, Baja California, Mexico", *Transactions of the Institution of Mining and Metallurgy, Sec. B*, Vol. 79: 155–162.

Shearman, D. J., Walker, G. P. L., Booth, B. & N. Falcon, L., 1976, "The Geological Evolution of Southern Iran: The Report of the Iranian Makran Expedition", *The Geographical Journal*, Vol. 142 (3): 393-410.

Spencer, R. J. & Lowenstein, T. K., 1990, "Evaporites", In: McIlreath, I. A. & Morrow, D.W. (eds.), *Diagenesis II*Geoscience Canada Reprint Ser. 4: 141–164.

Veigas, J. G., 1997, "First continental evaporitic phase in the South Pyrenean Central Area: Tremp Gypsum (Garumn facies, Upper Paleocene; Allochthonous Zone)", In: Busson, G. & Schreiber, B. C. (eds.), "Sedimentary Deposition in Rift and Foreland Basins in France and Spain (Paleogene and Lower Neogene)", Columbia University Press, New York: 335–342.

Warren, J. K., & Kendall, C. G. St. C., 1985, "Comparison of sequences formed in marine sabkha (subaerial) and saline (subaqueous) settings- Modern and Ancient", *American Association Petroleum Geologists Bulletin*, Vol. 69 (6): 1013–1023.

Warren, J. K., 1989, "Evaporite Sedimentology: Importance in Hydrocarbon Accumulation (Prentice Hall Advanced Reference Series)", Prentice Hall, 320 pp.

Warren, J. K., 1999, "Evaporites: Their Evolution and Economics", Oxford, Blackwell Science, 438 pp.

Zisser, N., Kemna, A. & Nover, G., 2010-a, "Dependence of spectral-induced polarization response of sandstone on temperature and its relevance to permeability estimation", *Journal of Geophysical Research*, Vol. 115: B09214.

Zisser, N., Kemna, A. & Nover, G. 2010-b, "Relationship between low-frequency electrical properties and hydraulic permeability of low-permeability sandstones", *Journal of Geophysics*, Vol. 75 (3): E131-E141